

前回の講義中、核素で次の三点について説明をしました。

① QCD の $gg' \rightarrow gg'$ 散乱振幅と、EW の $\nu g \rightarrow \ell g'$ 振幅の関係。

② t-channel Vector Boson (g, r, W, Z) 交換過程の高エネルギー極限。

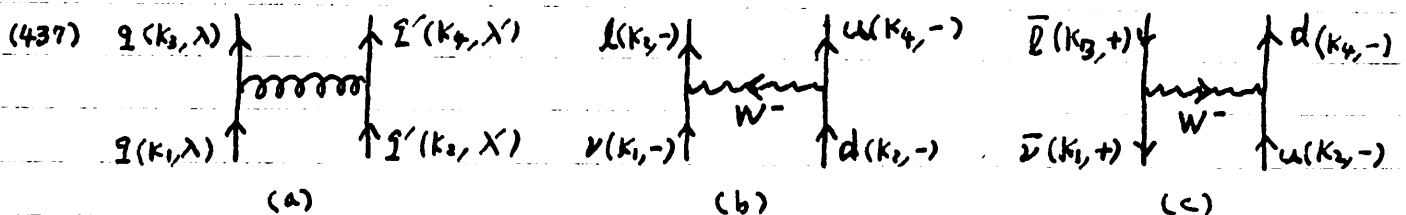
③ $uu \rightarrow uu$ 散乱の干渉項のカーラー因子が $-\frac{1}{N}$ であるとの説明。

上記三点は必ずしも重要事項ですので、ここで復習をしておきます。

また QCD の $gg' \rightarrow \ell\ell'$ 散乱振幅（カーラー因子を除いたもの）は p. 137 (400) :

$$(400) \quad \hat{M}_{\lambda\lambda'} = g^2 \frac{s}{-t} \times \begin{cases} 2 & \cdots \lambda = \lambda' \quad (\lambda_1 = \lambda_2) \\ 1 + \cos\theta & \cdots \lambda = -\lambda' \quad (\lambda_1 = -\lambda_2) \end{cases}$$

となりました。この振幅と、 $\nu d \rightarrow \ell u$, $\bar{\nu} u \rightarrow \bar{\ell} d$ を比較します。



W は左巻き粒子と右巻き反粒子にわかれて、(400) 式直ちに

$$(438) \quad \left\{ \begin{array}{l} M(\nu d \rightarrow \ell u)_{--} = \left(\frac{g_W}{\sqrt{2}}\right)^2 \cdot \frac{s}{m_W^2 - t} \cdot 2 \\ M(\bar{\nu} u \rightarrow \bar{\ell} d)_{+-} = \left(\frac{g_W}{\sqrt{2}}\right)^2 \cdot \frac{s}{m_W^2 - t} \cdot (1 + \cos\theta) \end{array} \right. ; \begin{array}{l} (400) \text{式'2'} \quad \lambda = \lambda' = - \\ (400) \text{式'7'} \quad \lambda = +, \lambda' = - \end{array}$$

と書き下すことができます。DIS では $-t = Q^2$ を用いるべきです。

$g \rightarrow g_W/\sqrt{2}$ は分かりますか？ 次の式を暗記しておこうさい。

$$\begin{aligned}
 (439) D_\mu^{SM} &= \partial_\mu + igT^a A_\mu^a + ig_w T^i W_\mu^i + ig_Y Y B_\mu \\
 &= \partial_\mu + igT^a A_\mu^a + ig_w (T^i W_\mu^i + T^2 W_\mu^2) + ig_w T^3 W_\mu^3 + ig_Y Y B_\mu \\
 &= \partial_\mu + igT^a A_\mu^a + i\frac{g_w}{\sqrt{2}} (T^+ W_\mu^+ + T^- W_\mu^-) + ig_w T^3 (\cos\theta_w Z_\mu + \sin\theta_w A_\mu) \\
 &\quad + ig_Y Y (-\sin\theta_w Z_\mu + \cos\theta_w A_\mu) \\
 &= \partial_\mu + igT^a A_\mu^a + i\frac{g_w}{\sqrt{2}} (T^+ W_\mu^+ + T^- W_\mu^-) + ig_Z (T^3 - Q \sin^2\theta_w) Z_\mu + ieQ A_\mu
 \end{aligned}$$

上の式の流れを暗記するだけでも簡単で下のルールを覚えていた。+ - + - + -

$$(440) T^i = \frac{\sigma^i}{2} \quad (i=1, 2, 3) \quad \Rightarrow \left\{ \begin{array}{l} T^\pm = T^1 \pm iT^2 \Rightarrow T^+ = \begin{pmatrix} 0 & 1 \\ 0 & 0 \end{pmatrix}, T^- = \begin{pmatrix} 0 & 0 \\ 1 & 0 \end{pmatrix} \\ T^3 = \begin{pmatrix} 1/2 & 0 \\ 0 & -1/2 \end{pmatrix} \end{array} \right.$$

$$W_\mu^\pm = \frac{W_\mu^i \mp i W_\mu^2}{\sqrt{2}} \quad (\text{複号の順序に注意。 } T^+ W_\mu^+ + T^- W_\mu^- \text{ が荷電定義})$$

$$Q = T^3 + Y \quad (Y = -\frac{1}{2} \text{ for } (e_L^u), \frac{1}{2} \text{ for } (d_L^u), Y = \Theta_f \text{ for } f_R)$$

$$g_Z = g_w / \cos\theta_w = \sqrt{g_w^2 + g_Y^2} \quad \left(\begin{array}{c} W_\mu^3 \\ B_\mu \end{array} \right) = \begin{pmatrix} \cos\theta_w & \sin\theta_w \\ -\sin\theta_w & \cos\theta_w \end{pmatrix} \left(\begin{array}{c} Z_\mu \\ A_\mu \end{array} \right)$$

$$e = g_w \sin\theta_w$$

断面積は

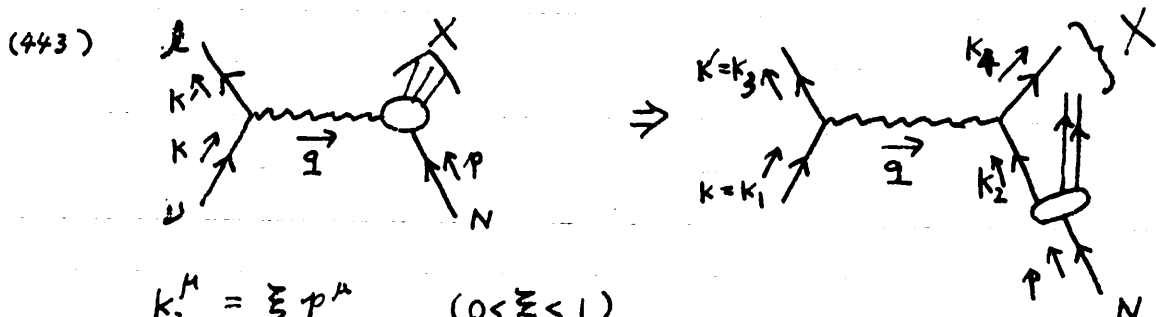
$$\begin{aligned}
 (441a) d\hat{\sigma}(\nu d \rightarrow l u) &= \frac{1}{2S} \cdot \frac{1}{2} \left| \frac{g_w^2}{2} \frac{2S}{m_w^2 - \hat{t}} \right|^2 \frac{1}{8\pi} \cdot \frac{d\cos\hat{\theta}}{2} \\
 &= \frac{g_w^4}{32\pi S} \left| \frac{S}{m_w^2 - \hat{t}} \right|^2 \frac{d\cos\hat{\theta}}{2}
 \end{aligned}$$

$$(441b) d\hat{\sigma}(\bar{\nu} u \rightarrow \bar{l} d) = \frac{g_w^4}{32\pi S} \left| \frac{S}{m_w^2 - \hat{t}} \right|^2 \left(\frac{1 + \cos\hat{\theta}}{2} \right)^2 \frac{d\cos\hat{\theta}}{2}$$

ここで、 $\hat{\theta}$ は $\nu + l$ 衝突重心系の量です。 $\cos\hat{\theta}$ を不変量で表すと。

$$(442) \quad y = \frac{qP}{kP} = \frac{(k_1 - k_2) \cdot k_2}{k_1 \cdot k_2} = 1 - \frac{k_2 \cdot k_2}{k_1 \cdot k_2} = 1 - \frac{\hat{E}^2(1 + \cos\theta)}{\hat{E}^2(1 + 1)} = \frac{1 - \cos\theta}{2}$$

∴ て、パートン模型のコマカツ



このか"コマカツ"なのは

$$(444) \quad \left\{ \begin{array}{l} P^2 = m_N^2 \sim 1 \text{GeV}^2 \text{ たり } k_2^2 = 0 \quad (\text{質量ゼロの } u, d, s \text{ クォーク, ゲルソン}) \\ \langle |k_T| \rangle \sim \frac{1}{\langle R \rangle_N} = \Lambda \sim (200-300) \text{MeV} \text{ を無視して } |k_T| = 0, \quad k \parallel P \end{array} \right.$$

要するに核子の質量 ($m_N \sim 1 \text{GeV}$)、核子の拡がりが無限大でない ($\langle \frac{1}{\langle R \rangle_N} \sim \Lambda$) を無視するのがパートン模型です。このコマカツは関連して、且つ、今まで (444) には良く理解できなかった部分です。こじてコマカツが根本にあるにもかかわらず、パートン描像による運動 QCD の予言が精密科学にならうる (輻射補正を含めた実験との比較が可能) のは、因子化定理 によって、全てのコマカツが観測量 (分布関数や破碎関数等) に因子化される (繰り込まれる) からです。この点については今後の講義でくり返し例証していくと思します。

$\gamma = 3\pi$. (442) 式を target の静止系 $p^{\mu} = (m_N, 0, 0, 0)$ で評価すると

$$(445) \quad y = \frac{q \cdot p}{k \cdot p} = \frac{(E - E') \cdot m_N}{E \cdot m_N} = \frac{E - E'}{E}$$

$y = 0$ のときが弾性散乱 (散乱(粒子のエネルギーが不变)) ですか。 $y > 0$ は非弹性度を測ります。 パーティクル模型では、この非弹性度が、(442) 式のように、 γ 散乱の散乱角度によって定まります。 $\cos\theta = 1$ (前方散乱) で $y = 0$ (弾性散乱) ですか。 分かるよな (← 楽天家) 分かるな、よな (弹性散乱たって有限角度に散乱する) ですか。 実際、弾性散乱は、ここまでに説明 (たよな [(443) の図で表されるよな] パーティクル模型では記述されません。

パーティクルの運動量比 β (443) も、不变量で表わせて。

$$(446) \quad k_4^2 = (\vec{k}_1 + \vec{k}_2)^2 = (\vec{k} + \vec{\beta} \vec{p})^2 = q^2 + 2\vec{\beta} \cdot \vec{q} + \beta^2 p^2 = 0$$

$\therefore \beta$: パーティクル模型のコマカシ (444) をもつ度係数 ($p^2 = 0$) :

$$(447) \quad \beta = \frac{-q^2}{2p \cdot q} \equiv x$$

右辺の不变量を Bjorken の x 、(443) 式の β を Feynman の運動量比と呼ぶことがあります。 $x = \frac{-q^2}{2p \cdot q}$ は観測量、 β はパーティクル模型のパラメータです。

核子 N の運動量の内 β ($0 < \beta < 1$) を担うパーティクルの分布を

$$(448) \quad D_{a/N}(\beta) \quad [a = q, \bar{q}, g]$$

と 1 ケ. 核子 N を、核子の運動量 P と同じ向きの parton と束に置き換えます。分布関数は、parton の束のエネルギーの系統和が核子の運動量に一致する

$$(449) \sum_{a=u,d,s,\bar{u},\bar{d},\bar{s},g} \int_0^1 d\zeta \quad \zeta D_{a/N}(\zeta) = 1$$

条件で規格化されます。振動 QCD で厳密に定義された分布関数はスケール Q^2 , μ 対数的に依存しますか。 (449) の和則は Q^2 によらずに成立します (そのように定義できます)。大さく μ に、低 Q^2 ($Q^2 \sim 1 \text{ GeV}^2$) では $N = p, n$ のアイソスピントンを決める荷 (valence) フルク, u, d の寄与が大きく、高 Q^2 ($Q^2 \sim 100 \text{ GeV}^2$) ではフルクの寄与が半分以上になります。

分布関数 (PDF = Parton Density Function) を用いると $\nu N \rightarrow \ell X, \bar{\nu} N \rightarrow \bar{\ell} X$ の断面積は次の様に表されます。

$$(450) \left\{ \begin{array}{l} d\sigma(\nu N \rightarrow \ell X) = \sum_a \int_0^1 d\zeta D_{a/N}(\zeta) d\hat{\sigma}(\nu a \rightarrow \ell b) \\ d\bar{\sigma}(\bar{\nu} N \rightarrow \bar{\ell} X) = \sum_a \int_0^1 d\zeta D_{a/N}(\zeta) d\hat{\sigma}(\bar{\nu} a \rightarrow \bar{\ell} b) \end{array} \right.$$

(442), (443), (447) より

$$(451) \frac{d\cos\theta}{2} = dy, \quad 1 + \frac{\cos\theta}{2} = 1 - y, \quad \hat{s} = (k_1 + k_2)^2 = 2k_1 k_2 = 2k_1 P\zeta \approx s\zeta$$

$$\delta(\zeta - x) dx = 1, \quad \hat{t} = (k_1 - k_2)^2 = (k - k')^2 = q^2 = -Q^2$$

を代入し $f_L \propto \bar{f}_R$ といふ W と結合するときに注意するよ。 (450) に

(441) 式と (451) を使って

$$(452) \quad d\sigma(\nu N \rightarrow l X) = \frac{g_w^4 S}{32\pi(m_\nu^2 + Q^2)^2} \left\{ D_{d/N}(x) + D_{s/N}(x) + (1-y)^2 [D_{\bar{u}/N}(x)] \right\} \times dx dy$$

$$d\sigma(\bar{\nu} N \rightarrow \bar{l} X) = \frac{g_w^4 S}{32\pi(m_\nu^2 + Q^2)^2} \left\{ D_{\bar{d}/N}(x) + D_{\bar{s}/N}(x) + (1-y)^2 [D_{u/N}(x)] \right\} \times dx dy$$

低エネルギー ($Q^2 \ll m_\nu^2$) では、断面積は S に比例し、 x 依存性は 1 ポトンのエネルギー分布 ($x D_{q/N}(x)$)、 y 依存性は プラックと反プラックを区別する。この y 依存性が $ff' \rightarrow ff'$ の ハーヒュテー振幅 (400) の ハーヒュテー依存性を起源とするのです。
又、低 Q^2 では、反プラック分布は小さいので、全断面積は荷重因子の n と d の寄与で近似され、アイススピングゼロの核 ($A=2Z$ 核) では

$$(453) \quad \sigma(\nu N \rightarrow l X) \sim 3 \sigma(\bar{\nu} N \rightarrow \bar{l} X) \quad \dots A=2Z \text{ 核 } (\#_p = \#_n)$$

が成立します。 $\int_0^1 (1-y)^2 dy = \frac{1}{3} = \int_{-1}^1 \left(\frac{1+\cos\theta}{2} \right)^2 d\cos\theta$ の結果です。

弱相互作用によると (400) 式の ハーヒュテー依存性が 显著になる例をあげました
か、次に t -channel 1: Vector Boson (g, γ, Z, W) を交換する過程に共通の
特徴、全断面積の「一次発散」についての解説をまとめます。簡単のために
(400) 式の $\lambda=\lambda'$ の場合を例に使います。

$$(453) \quad \hat{M}_{\lambda\lambda} = 2g^2 \frac{\hat{S}}{-\hat{t}} = \frac{4g^2}{1-\cos\theta} \quad ; \quad \hat{t} = (k_i - k_s)^2 = -2k_i \cdot k_s = -2\hat{E}^2(1-\cos\theta)$$

$$\Rightarrow \frac{d\hat{t}}{d\cos\theta} = \frac{2}{9} \cdot \frac{4\pi\alpha^2}{\hat{S}} \cdot \frac{1}{(1-\cos\theta)^2} \quad ; \quad (402) \text{ 式の第一項}$$

ここで $-1 < \cos\theta < 1$ の積分が一次発散をするときに注目して下さい。

$$(454) \int_{-1}^1 \frac{d\hat{\sigma}}{d\cos\hat{\theta}} d\cos\hat{\theta} \sim \int_{-1}^1 \frac{d\cos\hat{\theta}}{(1-\cos\hat{\theta})^2} = \left[+ \frac{1}{1-\cos\hat{\theta}} \right]_{-1}^1 \sim \frac{1}{0}$$

この一次発散により、クラクタルボソンを t -channel に交換する過程の全断面積は横運動量のカットオフの値によって定まり、 $\hat{s} \rightarrow \infty$ で減少します。 $gg' \rightarrow gg'$ を例に計算をしてみましょう。終10トンの横運動量は

$$(455) p_T = \hat{E} \sin\hat{\theta} \Rightarrow p_T^2 = \hat{E}^2 \sin^2\hat{\theta} = \frac{\hat{s}}{4} \sin^2\hat{\theta}$$

$$dp_T^2 = \frac{\hat{s}}{4} d(1-\cos^2\hat{\theta}) = \frac{\hat{s}}{2} \cos\hat{\theta} d\cos\hat{\theta}$$

$$(456) \frac{d\hat{\sigma}}{dp_T^2} = \frac{2}{\hat{s} \cos\hat{\theta}} \frac{d\hat{\sigma}}{d\cos\hat{\theta}} \quad \left| \cos\hat{\theta} = \pm \sqrt{1-4\Lambda^2/\hat{s}} \right. \quad \leftarrow 2点あることに注意。$$

$$= \frac{2}{\hat{s} \sqrt{1-4p_T^2/\hat{s}}} \frac{d\hat{\sigma}}{d\cos\hat{\theta}} \quad \left| \cos\hat{\theta} = \pm \sqrt{1-4p_T^2/\hat{s}} \right.$$

Jacobian $1/\sqrt{1-4p_T^2/\hat{s}}$ のために $d\hat{\sigma}/dp_T^2$ を直接積分するのか直進(ルル)で、次の様に計算する。

$$(457) \hat{\sigma}(p_T > \Lambda) = \int_{-1}^1 d\cos\hat{\theta} \frac{d\hat{\sigma}}{d\cos\hat{\theta}} \Theta\left(\frac{\hat{s}}{4} \sin^2\hat{\theta} - \Lambda^2\right)$$

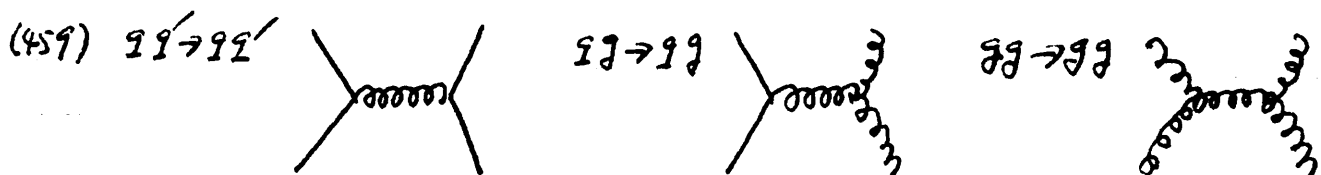
$$= \int_{-1}^1 d\cos\hat{\theta} \frac{d\hat{\sigma}}{d\cos\hat{\theta}} \Theta\left(1 - \frac{4\Lambda^2}{\hat{s}} - \cos^2\hat{\theta}\right)$$

$$= \int_{-\sqrt{1-4\Lambda^2/\hat{s}}}^{\sqrt{1-4\Lambda^2/\hat{s}}} d\cos\hat{\theta} \frac{d\hat{\sigma}}{d\cos\hat{\theta}}$$

$$= \frac{2}{9} \cdot \frac{4\pi ds^2}{\hat{s}} \int_{-\sqrt{1-4\Lambda^2/\hat{s}}}^{\sqrt{1-4\Lambda^2/\hat{s}}} d\cos\hat{\theta} \frac{1}{(1-\cos\hat{\theta})^2}$$

$$\begin{aligned}
 (458) \hat{\sigma}(p_T > \Lambda) &= \frac{2}{9} \cdot \frac{4\pi \alpha_s^2}{\hat{s}} \left[+ \frac{1}{1 - \alpha_s \hat{\theta}} \right]_{-\sqrt{1-4\Lambda^2/\hat{s}}}^{\sqrt{1-4\Lambda^2/\hat{s}}} \\
 &= \frac{2}{9} \frac{4\pi \alpha_s^2}{\hat{s}} \cdot \left[\frac{1}{1 - \sqrt{1-4\Lambda^2/\hat{s}}} - \frac{1}{1 + \sqrt{1-4\Lambda^2/\hat{s}}} \right] \\
 &= \frac{2}{9} \cdot \frac{4\pi \alpha_s^2}{\hat{s}} \cdot \frac{2\sqrt{1-4\Lambda^2/\hat{s}}}{1 - (1 - 4\Lambda^2/\hat{s})} \\
 &= \frac{2}{9} \cdot \frac{4\pi \alpha_s^2}{\hat{s}} \cdot \frac{\hat{s}}{2\Lambda^2} \left(1 - \frac{2\Lambda^2}{\hat{s}} + \dots \right) \\
 &= \frac{2}{9} \cdot \frac{2\pi \alpha_s^2}{\Lambda^2} \cdot \left(1 - \frac{2\Lambda^2}{\hat{s}} + \dots \right)
 \end{aligned}$$

上の導出で、一次発散項のカントオフ積分が $\frac{\hat{s}}{\Lambda^2}$ の振る舞いをするので、断面積の $\frac{1}{\hat{s}}$ 的振る舞いが、 $\frac{1}{\Lambda^2}$ の定数に変化することを良く理解しておこう。又、 $\sqrt{\hat{s}} = 2\Lambda$ が大きい値であることはかかわらず、 $\sqrt{\hat{s}} = 4\Lambda$ ではすでに漸近的断面積の $\frac{7}{8}$ に達していることも重要です。パートニシット生成の断面積は $\sqrt{\hat{s}} > 4p_T$ で \hat{s} にはほとんど依存しなくなっています。これが“三過程”的断面積か、他の三過程よりもずっと大きい理由です。



この三過程の断面積は、有限部分の振る舞いや、カラー因子等が違いますか、漸近式 (458) を使って、TeVatron or LHCでのジット生成の全断面積を評価します。

正確な計算は皆さんが自分で、自分ですることができるですか？ ここで私はか。 例えは飛行機の中で紙とペンだけで評価する方法を説明します。 まずは、クォークとグルーバンのエネルギーも面積なので、全てのパートンの分布関数の和を評価します。

$$(460) \quad D(x) = \sum_{u, \bar{u}, d, \bar{d}, s, \bar{s}, g} D_{q/N}(x)$$

この分布関数の規格化は エネルギー保有型

$$(461) \quad \int_0^1 dx x D(x) = 1$$

です。 $D(x)$ の形で書くと、次の形が経験則とて便利です。

$$(462) \quad D(x) = N \frac{(1-x)^n}{x}$$

$x \rightarrow 0$ の $1/x$ 分布は、後で出て来るケルビン輻射の分布で、全ての分布に共通です。 $x \rightarrow 1$ の $(1-x)^n$ のべきは、様子のエネルギーを全てのパートン1つが担うことの難しさを計る量で、定スケールでは陽子中の n について $n=3$, d について $n=4$, s について $n=5$, $\bar{u}, \bar{d}, \bar{s}, \bar{g}$ について $n=7$ といふ評価があります。 $D_{d/p}(x)$ は次のような

$$(463) \quad n = 2 \times (\text{セロ運動量をもつべき最小パートン数}) - 1$$

です。 陽子中の d -クォークの分布に関する、「4-7+72ヶを共にセロ運動量にするのが少し困難だ」との ~~のも~~ もともと説明があります。 全て、

全く信頼できない説明ですが、どういふわけか、観測値の定性的な傾向を正しく再現します。これは面頃なので、全プロトン分布を(462)式の形に仮定します。すなと(461)より

$$(464) \quad D(x) = (n+1) \frac{(1-x)^n}{x}$$

で規格化を定します。全断面積 12

$$(465) \quad \sigma(p_T > \Lambda) = \int_0^1 dx_1 \int_0^1 dx_2 D(x_1) D(x_2) \hat{\sigma}(\hat{s} = s x_1 x_2; p_T > \Lambda)$$

$\hat{\sigma}(\hat{s}; p_T > \Lambda)$ の合係性(458)式に面頃ます。

$$(466) \quad \hat{\sigma}(\hat{s}; p_T > \Lambda) = \frac{2}{9} \cdot \frac{4\pi \alpha_s^2}{\Lambda^2} \Theta(\hat{s} - 16\Lambda^2) \quad \begin{array}{l} (458) \text{ は } (402) \text{ 式の} \\ \text{左端, LLとRRを} \\ \text{t_sの2つを} \end{array}$$

と近似します。 $dx_1 dx_2$ 積分は次の変数を使ふと便利です。

$$(467) \quad \begin{cases} x_1 = \sqrt{2} e^y \\ x_2 = \sqrt{2} e^{-y} \end{cases} \quad \begin{cases} \tau = x_1 x_2 = \frac{\hat{s}}{s} \\ y = \frac{1}{2} \ln \frac{x_1}{x_2} \end{cases}$$

$$dx_1 dx_2 = \frac{d(x_1, x_2)}{d(\tau, y)} d\tau dy = d\tau dy$$

Jacobian = 1 は確か12下付です。 $\tau = \hat{s}/s$ はプロトント衝突系の \hat{s} と衝突

ハドロン系の s の比、 y はプロトン対系の rapidity です。

$$(468) \quad y = \frac{1}{2} \ln \frac{(E_1 + E_2) + (P_{1z} + P_{2z})}{(E_1 + E_2) - (P_{1z} + P_{2z})} = \frac{1}{2} \ln \frac{(x_1 + x_2) + (x_1 - x_2)}{(x_1 + x_2) - (x_1 - x_2)} = \frac{1}{2} \ln \frac{x_1}{x_2}$$

新しい変数 τ と y を使ふと。(465) 12

$$(464) \quad \sigma(p_T > V) = \int_{16A^2/s}^1 dp \int_{-\ln \sqrt{2}}^{\ln \sqrt{2}} dy D(\sqrt{2}e^y) D(\sqrt{2}e^{-y}) \hat{\sigma}(V < p_T; 2s = \hat{s})$$

$$= \int_{16A^2/s}^1 dp \mathcal{L}(2) \hat{\sigma}(V < p_T; 2s = \hat{s})$$

$x_1, x_2 = \hat{s}/s$ を定めたときの パーティクル密度関数の対のたまご

積分

$$(470) \quad \mathcal{L}(2) = \int_{-\ln \sqrt{2}}^{\ln \sqrt{2}} dy D(\sqrt{2}e^y) D(\sqrt{2}e^{-y})$$

を パーティクル対の「有効ミンスキー分布密度」と呼びます。標準模型 QCD で、この 密度関数を定義することになります。TeVatron と LHC での 密度関数 のたまごの大さと形とを 1, かくと理解・記憶すること。コライダル物理の現象論のすみの一歩です。多くの 1...4 成分分布 (464) の場合

$$(471) \quad \mathcal{L}(2) = 2 \int_0^{\ln \sqrt{2}} dy (n+1)^2 \frac{(1-\sqrt{2}e^y)^n}{\sqrt{2}e^y \cdot \sqrt{2}e^{-y}} (1+\sqrt{2}e^y + \sqrt{2}e^{-y})^n$$

$$= \frac{2(n+1)^2}{2} \int_0^{\ln \sqrt{2}} dy (1+2-\sqrt{2}(e^y+e^{-y}))^n$$

これは手計算で解説的に積分して下さい。 $n=2, 3, \dots$ に計算させて下さい。

$$(472) \quad \mathcal{L}(2) = \frac{32}{2} \int_0^{\ln \sqrt{2}} dy \left\{ (1+2)^3 - 3(1+2)^2 \sqrt{2}(e^y+e^{-y}) + 3(e^y+e^{-y})^2 \right.$$

$$\left. - (e^y+e^{-y})^3 \right\}$$

$$= \frac{32}{2} \int_0^{\ln \sqrt{2}} dy \left\{ \begin{array}{l} 8 \\ 3 \end{array} (1+2)^2 e^y + (1+2)^2 e^{-y} + (e^y+e^{-y})^2 e^{2y} + (e^y+e^{-y})^2 e^{-2y} \right. \\ \left. - (e^y+e^{-y})^3 \right\}$$

$$(473) \quad \text{左}^{n=3} = \frac{32}{2\pi} \left\{ \frac{1}{(2+2\epsilon+1)} \ln \frac{2}{2-1} - \frac{1}{2} \ln \frac{(2+2\epsilon+1)(2+1)}{2} \right\}$$

$$\left. \left\{ \frac{2\epsilon^2-1}{2\pi 2\epsilon} \ln \frac{2}{2-1} - \frac{2\epsilon^2}{2} (2+1) 2\epsilon + \right\} \right.$$

$$(473a) \quad = \left\{ \frac{91}{(2+1/\epsilon+28\epsilon+1/\epsilon^2)} - \frac{1}{2} \ln \frac{(2+2\epsilon+1)(2+1)}{2-1} \right\} \frac{91}{2}$$

$$(473b) \quad \xrightarrow[0 \rightarrow 2]{} \left[\left(\frac{1}{2} \ln 2 \right) 0 + \frac{11}{3} - \frac{1}{2} \ln \frac{91}{2} \right]$$

$$(473c) \quad \xrightarrow[1 \rightarrow 2]{} (2-1) 0 + \frac{4}{3} (2-1)$$

上の形から、左 $^{n=3}$ のたる形と規格化がかります。 $\epsilon \rightarrow 1$ の

振る舞いは、 $\int (1-x_1)^m (1-x_2)^n$ の場合 $(1-\epsilon)^{m+n+1}$ になります。

$\frac{2(m)(m+1)}{2} \ln \frac{1}{2-0}$ の様に増大し、 $\epsilon \approx 0.1$ では急激に減少するやうです。この傾向は、複動QCDの輻射補正を考慮すると更に強まります。

実は、(473)式の $\epsilon \rightarrow 0$ の形を使、て全断面積 $\equiv (467)$ を評価しようとしましたので、「(473b)式」は $\epsilon < e^{-\frac{11}{3}} \sim 0.026$ でないと正でないのです、とあらわしてあります。是非数値計算を follow して下さい。複動QCDが使える限界について、例えは

$$(474) \quad p_T > \Lambda \approx 5 \text{ GeV}$$

をとるとすると、(469)式の積分の下限は

$$(475) \quad \frac{16\Lambda^2}{5} = \left(\frac{4\Lambda}{\sqrt{5}} \right)^2 = \begin{cases} \left(\frac{20}{2000} \right)^2 \sim 10^{-4} & \cdots \text{ Tevatron} \\ \left(\frac{20}{14000} \right)^2 \sim 2 \times 10^{-6} & \cdots \text{ LHC} \end{cases}$$

(473b) を使、 τ とある。 13° の評価をすると [(466) 式で代入]

$$\begin{aligned}
 (476) \quad \sigma(p_T > \Lambda) &= \frac{2}{9} \frac{4\pi\alpha_s^2}{\Lambda^2} \int_{16\Lambda^2/5}^1 dz \tau^2 \mathcal{L}(z) \\
 &\approx \frac{2}{9} \frac{4\pi\alpha_s^2}{\Lambda^2} \int_{16\Lambda^2/5}^{0.01} dz \tau^2 \frac{16}{2} \left[\ln \frac{1}{2} - \frac{11}{3} \right] \\
 &= \frac{2}{9} \frac{4\pi\alpha_s^2}{\Lambda^2} \left[-8 \ln \tau - \frac{176}{3} \ln z \right]_{16\Lambda^2/5}^{0.01} \\
 &= \frac{2}{9} \frac{4\pi\alpha_s^2}{\Lambda^2} \left\{ 8 \left(\ln \frac{s}{16\Lambda^2} - \ln 100 \right) - \frac{176}{3} \ln \frac{s}{100 \cdot 16\Lambda^2} \right\} \\
 &\approx \frac{2}{9} \cdot \frac{4\pi\alpha_s^2}{\Lambda^2} \times \begin{cases} 240 & \dots \text{ Tevatron} \\ 700 & \dots \text{ LHC} \end{cases}
 \end{aligned}$$

“いか” τ の位の断面積をある。 τ を評価するのに、 $\pm 3^\circ$

$$\begin{aligned}
 (477) \quad \frac{4\pi\alpha_s^2}{\Lambda^2} &\approx \frac{4 \times 3 \times (0.14)^2}{(5 \text{ GeV})^2} & \begin{cases} \pi = 3 \\ \alpha_s(5 \text{ GeV}) = 0.14 \end{cases} \\
 &\approx \frac{1}{10} \text{ GeV}^{-2} & \frac{1}{0.2 \text{ GeV}} \approx 1 \text{ fm} = 10^{-15} \text{ m} \\
 &\approx \frac{1}{10} 0.4 \text{ mb} & \frac{1}{(0.2 \text{ GeV})^2} \approx 10^{-30} \text{ m}^2 = 10 \text{ mb} \\
 &\approx 0.04 \text{ mb}
 \end{aligned}$$

これを代入すると

$$(478) \quad \sigma(p_T > 5 \text{ GeV}) \sim \begin{cases} 2 \text{ mb} & \dots \text{ Tevatron} \\ 7 \text{ mb} & \dots \text{ LHC} \end{cases}$$

となる。とても大きな断面積になる。しかし、かなりよち。最新のパートン分布を用いて計算してみた。5 GeV 程度の p_T では、ジグマトノンは、ほとんど全てのイベントで観測されるのだ。と思ふ。//

ついでに、二トリー・フォーワード散乱の全断面積も求めよう。

(44/a) (44/b) で $\tau = -\hat{\epsilon} = Q^2 \ll m_W^2$ とすると。

$$(479a) \quad \hat{\sigma}(\nu d \rightarrow \ell u) = \frac{g_w^4}{32\pi m_W^4} \hat{s} = \frac{G_F^2}{\pi} \hat{s} \quad ; G_F = \frac{1}{\sqrt{2} v^2} = \frac{1}{\sqrt{2}} \left(\frac{g_w}{2m_W} \right)^2$$

$$(479b) \quad \hat{\sigma}(\bar{\nu} u \rightarrow \bar{\ell} d) = \frac{g_w^4}{32\pi m_W^4} \cdot \frac{1}{3} \cdot \hat{s} = \frac{G_F^2}{3\pi} \hat{s}$$

これらは皆が知っている式です。 $\hat{s} \gg m_W^2$ のときは QCD のクローン交換と同様、断面積が一定になります。 P_T cut-off Λ の代わりに m_W です。

$$(480a) \quad \hat{\sigma}(\nu d \rightarrow \ell u) = \int_{-1}^1 d\cos\theta \frac{g_w^4}{64\pi \hat{s}} \left(\frac{\hat{s}}{m_W^2 + \hat{s} \frac{1-\cos\theta}{2}} \right)^2$$

$$= \frac{g_w^4}{32\pi \hat{s}} \int_0^1 d\left(\frac{1-\cos\theta}{2}\right) \left(\frac{1}{\left(\frac{1-\cos\theta}{2}\right) + \frac{m_W^2}{\hat{s}}} \right)^2$$

$$= \frac{g_w^4}{32\pi \hat{s}} \left[-\frac{1}{x + \frac{m_W^2}{\hat{s}}} \right]_0^1$$

$$= \frac{g_w^4}{32\pi \hat{s}} \left[\frac{\hat{s}}{m_W^2} - \frac{\hat{s}}{\hat{s} + m_W^2} \right]$$

$$= \frac{g_w^4}{32\pi m_W^2} \left[1 - \frac{m_W^2}{\hat{s}} \right]$$

$$= \frac{G_F^2}{\pi} m_W^2 \left[1 - \frac{m_W^2}{\hat{s}} + O\left(\left(\frac{m_W^2}{\hat{s}}\right)^2\right) \right]$$

$$(480b) \quad \hat{\sigma}(\bar{\nu} u \rightarrow \bar{\ell} d) = \frac{g_w^4}{32\pi \hat{s}} \int_0^1 dx \left(\frac{1}{x + \frac{m_W^2}{\hat{s}}} \right)^2 (1-x)^2$$

$$= \frac{g_w^4}{32\pi \hat{s}} \left[-\frac{1 + \frac{2m_W^2}{\hat{s}}}{x + \frac{m_W^2}{\hat{s}}} - 2 \ln(x + \frac{m_W^2}{\hat{s}}) + 1 + \dots \right]_0^1$$

$$= \frac{g_w^4}{32\pi m_W^2} \left[1 - 2 \frac{m_W^2}{\hat{s}} \ln \frac{\hat{s} + m_W^2}{m_W^2} + \frac{2m_W^2}{\hat{s}} + \dots \right]$$

$$= \frac{G_F^2}{\pi} m_W^2 \left[1 - 2 \frac{m_W^2}{\hat{s}} \left(\ln \frac{\hat{s} + m_W^2}{m_W^2} - 1 \right) + \dots \right]$$

高エネルギーの全断面積は ルモワも同じで

$$(481) \frac{G_F^2}{\pi} m_W^2 \approx \frac{(10^{-5} \text{GeV}^{-2})^2}{3} (80 \text{GeV})^2$$

$$\approx 2 \times 10^{-7} \text{GeV}^{-2}$$

$$\approx 2 \times 10^{-7} \times 0.4 \text{mb}$$

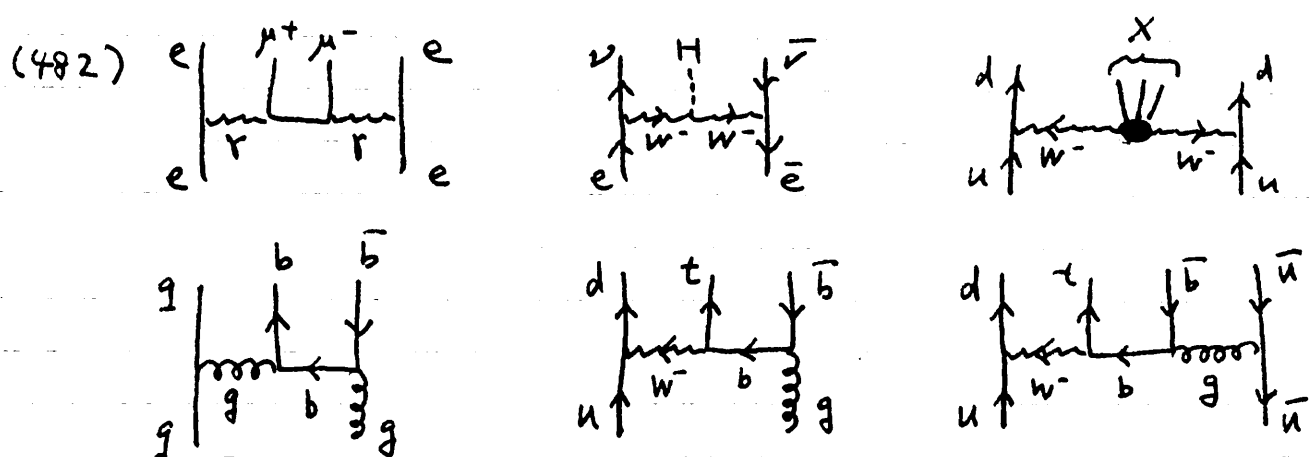
$$\approx 0.1 \text{mb}$$

この断面積は充分に大きく、高エネルギー二トリノは地中で急激に減衰します。e も μ も地中で止まってしまうので、2つたしかい、で生成して崩壊を繰り返しながら 地球をつき抜けることができるのです。

この分の積分がリニア発散するときに、断面積のエネルギー依存性の次元が変わり、高エネルギーで減衰しない断面積が得られるることは大切です。

t-channel には「ケントルボソンを交換する全ての過程」に当りますので、

~~いくつか~~ 13' をあげます。



振幅の結合の次第が高くて、大きな寄与を与える可能性があります。//

$q\bar{q} \rightarrow q\bar{q}$ のカラー因子

(405) 式の散乱振幅の干涉項の符号が、カラー因子の干涉項(318)が

負であるために、フェルミ統計による負符号とかけ合はずして正になりました。

p. 139 (410)-(412) で。 (318) 式で何故カラー因子の干涉項が負になるのかが

気になります。これは、カラー因子のベースを $\delta_{ki}\delta_{ej} + \delta_{kj}\delta_{ei}$ と
することによって明らかになります。Fierz 則 (314) を使ふと、t-channel と
u-channel の振幅の カラー因子は同じになります

$$(483) \quad T_{ki}^a T_{ej}^a = T_F (\delta_{kj}\delta_{ei} - \frac{1}{N}\delta_{ki}\delta_{ej})$$

$$T_{kj}^b T_{ei}^b = T_F (\delta_{ki}\delta_{ej} - \frac{1}{N}\delta_{kj}\delta_{ei})$$

となります。振幅 (405) は

$$(484) \quad M = T_{ki}^a T_{ej}^a M(t) - T_{kj}^b T_{ei}^b M(u)$$

$$= T_F \delta_{kj}\delta_{ei} (M(t) + \frac{1}{N}M(u)) - T_F \delta_{ki}\delta_{ej} (M(u) + \frac{1}{N}M(t))$$

で、干涉項の符号が変わるためにです。第1章-2

$$(485) \quad T_F \delta_{kj}\delta_{ei} \quad \text{と} \quad T_F \delta_{ki}\delta_{ej}$$

$t \rightarrow N \rightarrow \infty$ で干涉項を除く。

$$(486) \quad \sum_{ijk\alpha} |T_F \delta_{kj}\delta_{ei}|^2 = \sum_{ijk\alpha} |T_F \delta_{ki}\delta_{ej}|^2 = T_F^2 N^2$$

$$\sum_{ijk\alpha} |T_F \delta_{kj}\delta_{ei} T_F \delta_{ki}\delta_{ej}| = T_F^2 N$$

(484) で $|M|^2$ のカラー因子を計算すると。

$$\begin{aligned}
 (487) \sum_{ijk\ell} |M|^2 &= T_F^2 N^2 \left\{ |M(t) + \frac{1}{N} M(u)|^2 + |M(u) + \frac{1}{N} M(t)|^2 \right\} \\
 &\quad - 2 T_F^2 N \operatorname{Re} \left[(M(t) + \frac{1}{N} M(u)) (M(u) + \frac{1}{N} M(t))^* \right] \\
 &= (|M(t)|^2 + |M(u)|^2) \left(T_F^2 N^2 \left(1 + \frac{1}{N^2} \right) - 2 T_F^2 N \cdot \frac{1}{N} \right) \\
 &\quad + 2 \operatorname{Re} [M(t) M(u)^*] \left(T_F^2 N^2 \frac{2}{N} - T_F^2 N \left(1 + \frac{1}{N^2} \right) \right) \\
 &= (|M(t)|^2 + |M(u)|^2) T_F^2 (N^2 - 1) \\
 &\quad + 2 \operatorname{Re} [M(t) M(u)^*] T_F^2 \frac{N^2 - 1}{N}
 \end{aligned}$$

少く微少ですが、(484)式のカラーネースで、干渉項を無視した場合と
同じ干渉パターンとなります。

LHCでのhigh P_T jet 生成 13. highest P_T region で $uu \rightarrow uu$ が重要です。この干渉項の効果は結構大きいようです。(412)式で、 $\hat{\sigma}(P_T > \Lambda)$ の寄与は干渉項は log 的発散で小さいのです。highest P_T event は $\cos \theta \sim 0$ 付近が重要なことを考えると、例えば

$$(488) \left(\frac{d\hat{\sigma}_{q\bar{q} \rightarrow q\bar{q}}}{d \cos \theta} \right)_{\cos \theta = 0} = \frac{2}{9} \cdot \frac{4\pi \alpha_s^2}{S} \cdot \left\{ \frac{5}{4} + \frac{1}{3} \right\}$$

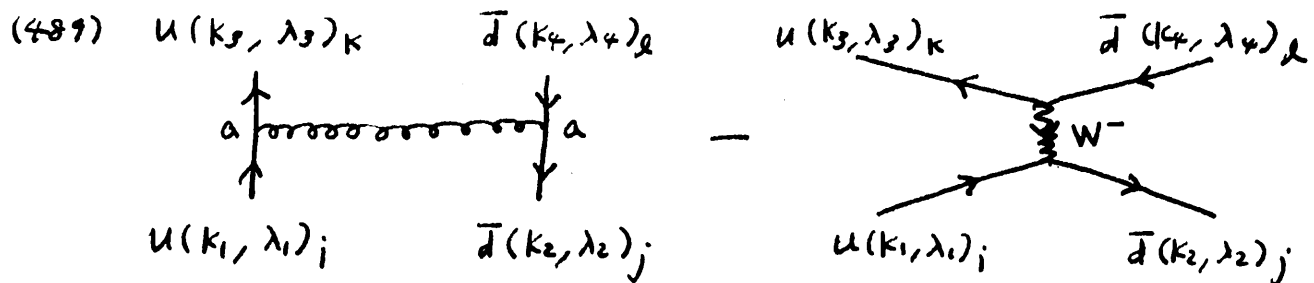
ですが、干渉項によると、25% で highest P_T jet が増えるのです。

20% 超の効果は、実験的に確認できるかも知れません。残念

ながら、Tevatron では $u\bar{u}$ 散乱が主要となり、この効果はありません。

$u\bar{d} \rightarrow u\bar{d}$ × s-channel W^+ 生成

Tevatron で是非確認しておきました。 $u\bar{d} \rightarrow u\bar{d}$ 散乱での t-channel カーネオン交換振幅と、s-channel W^+ 生成振幅との干涉です。



フェルミオン生成・消滅演算子の反対換による相対符号の一つが表している。

振幅は カラー因子を顯にすると

$$\begin{aligned}
 (490) \quad M &= T_{k_i}^a T_{j_e}^a M(\hat{t}) - \delta_{j_i} \delta_{k_e} M(\hat{s}) \\
 &= T_F (\delta_{k_e} \delta_{j_i} - \frac{1}{N} \delta_{k_i} \delta_{j_e}) M(\hat{t}) - \delta_{j_i} \delta_{k_e} M(\hat{s}) \\
 &= \delta_{k_e} \delta_{j_i} (T_F M(\hat{t}) - M(\hat{s})) - \frac{T_F}{N} \delta_{k_i} \delta_{j_e} M(\hat{t})
 \end{aligned}$$

多分、初めのベースの方が便利なので、そちらを使ふと。

$$\begin{aligned}
 (491) \quad \sum_{ijk\ell} |M|^2 &= \sum_{ijk\ell} T_{k_i}^a T_{j_e}^a T_{e_j}^b T_{i_k}^b |M(\hat{t})|^2 + \sum_{ijk\ell} \delta_{j_i} \delta_{k_e} \delta_{e_k} \delta_{i_j} |M(\hat{s})|^2 \\
 &\quad - \sum_{ijk\ell} T_{k_i}^a T_{j_e}^a \delta_{ij} \delta_{ek} 2 R_e [M(\hat{s}) M(\hat{t})^*] \\
 &= +_r (T^a T^b) +_r (T^a T^b) |M(\hat{t})|^2 + N^2 |M(\hat{s})|^2 \\
 &\quad - +_r (T^a T^a) 2 R_e [M(\hat{s}) M(\hat{t})^*] \\
 &= T_F^2 (N^2 - 1) |M(\hat{t})|^2 + N^2 |M(\hat{s})|^2 - T_F (N^2 - 1) 2 R_e [M(\hat{s}) M(\hat{t})^*]
 \end{aligned}$$

今度は干渉項のカーナー因子が正のようです。 $M(\hat{t})$ は (395) と同じで

$$(492) M(\hat{t}) = \frac{g^2}{\epsilon} J_\lambda^\mu \cdot \bar{J}_{\lambda'}^\mu$$

J_λ^μ は (397a), (398a, b). $\bar{J}_{\lambda'}^\mu$ は

$$(493a) \bar{J}_{\lambda'}^\mu = \bar{v}(k_2, \lambda') \gamma^\mu v(k_4, \lambda')$$

$$(493b) = 2E \chi_{-\lambda'}(k_2)^\dagger \sigma_-^\mu \chi_{-\lambda'}(k_4)$$

$$(494a) \bar{J}_+^\mu(k_2, k_4) = 2E \chi_-(k_2)^\dagger \sigma_-^\mu \chi_-(k_4) = 2E(-1, 0)[1, -\vec{\sigma}] \begin{pmatrix} \cos \frac{\theta}{2} \\ \sin \frac{\theta}{2} \end{pmatrix} = 2E(-\cos \frac{\theta}{2}, \sin \frac{\theta}{2}, -i \sin \frac{\theta}{2}, \cos \frac{\theta}{2})$$

$$(494b) \bar{J}_-^\mu(k_2, k_4) = 2E \chi_+(k_2)^\dagger \sigma_+^\mu \chi_+(k_4) = 2E(0, 1)[1, \vec{\sigma}] \begin{pmatrix} \sin \frac{\theta}{2} \\ -\cos \frac{\theta}{2} \end{pmatrix} = 2E(-\cos \frac{\theta}{2}, \sin \frac{\theta}{2}, i \sin \frac{\theta}{2}, \cos \frac{\theta}{2})$$

$$(495) \bar{J}_{\lambda'}^\mu(k_2, k_4) = -2E(\cos \frac{\theta}{2}, -\sin \frac{\theta}{2}, i \sin \frac{\theta}{2}, -\cos \frac{\theta}{2})$$

(495) と (399b) を 載らし

$$(496) \bar{J}_{\lambda'}^\mu(k_2, k_4) = J_{\lambda'}^\mu(k_2, k_4)$$

従って (492) は (400) と 全く 同じ。

$$(497) M(\hat{t})_{\lambda\lambda'} = g^2 \left(-\frac{\hat{s}}{\epsilon}\right) \times \begin{cases} 2 & \dots \lambda = \lambda' (\lambda_1 = \lambda_2 = \lambda_3 = \lambda_4) \\ 1 + \cos \hat{\theta} & \dots \lambda = -\lambda' (\lambda_1 = -\lambda_2 = \lambda_3 = -\lambda_4) \end{cases}$$

一方 s-channel W 交換振幅は (230) と 同じ。

$$\begin{aligned} (498) M(s) &= \frac{g_w^2}{2(s - m_w^2 + im_w P_w)} J_{-+}^\alpha(k_3, k_4) J_{-+}^\beta(k_1, k_2) g_{\alpha\beta} \\ &= \frac{g_w^2}{2(s - m_w^2 + im_w P_w)} \underbrace{2E[0, \cos \hat{\theta}, i, -\sin \hat{\theta}]}_{(235)} \cdot \underbrace{2E[0, -1, i, 0]}_{(240)} \\ &= \frac{g_w^2 \hat{s}}{2(s - m_w^2 + im_w P_w)} (1 + \cos \hat{\theta}) \delta_{\lambda_1 -} \delta_{\lambda_2 +} \delta_{\lambda_3 -} \delta_{\lambda_4 +} \end{aligned}$$

(497) と (498) と (491) は λ の 3 つと、 λ の 4 つで - の 和も 実行すると。

$$\begin{aligned}
 (499) \sum_{\text{spin color}} \sum |M|^2 &= T_F^2(N^2-1) \cdot \left(\frac{2g^2}{1-\cos\hat{\theta}} \right)^2 \left[4 + (1+\cos\hat{\theta})^2 \right] \times 2 \\
 &\quad + N^2 \left| \frac{g_w^2 \hat{s}}{\hat{s} - m_w^2 + i m_w P_w} \right|^2 \left(\frac{1+\cos\hat{\theta}}{2} \right)^2 \\
 &\quad - T_F(N^2-1) 2 \operatorname{Re} \left\{ \frac{g_w^2 \hat{s}}{\hat{s} - m_w^2 + i m_w P_w} \frac{1+\cos\hat{\theta}}{2} \cdot \frac{2g^2}{1-\cos\hat{\theta}} (1+\cos\hat{\theta}) \right\} \\
 &= T_F^2(N^2-1) \cdot \frac{32g^4}{(1-\cos\hat{\theta})^2} \left[1 + \left(\frac{1+\cos\hat{\theta}}{2} \right)^2 \right] \\
 &\quad + N^2 \cdot \frac{g_w^4 \hat{s}^2}{(\hat{s} - m_w^2)^2 + (m_w P_w)^2} \left(\frac{1+\cos\hat{\theta}}{2} \right)^2 \\
 &\quad - T_F(N^2-1) \cdot \frac{2g^2 g_w^2 \hat{s} (\hat{s} - m_w^2)}{(\hat{s} - m_w^2)^2 + (m_w P_w)^2} \frac{(1+\cos\hat{\theta})^2}{1-\cos\hat{\theta}}
 \end{aligned}$$

干涉項は從って $\hat{s} > m_w^2$ では負、 $\hat{s} < m_w^2$ では正。 m_{jj} 分布から

m_W を評価しようとすると、 $m_{jj}^{\text{peak}} < m_W$ となるはずです。逆に、この効果を無視して $m_{jj}^{\text{peak}} = m_W$ となるようにシミュレーションを決めると、全てのシミュレーションは系統的に過大評価となります。

(499) 式は是非 check して下さい。どの程度の定量的效果があるか、

教えて下さると幸いです。素過程の断面積は

$$\begin{aligned}
 (500) \frac{d\hat{\sigma}}{d\cos\hat{\theta}}^{\text{u}\bar{u} \rightarrow \text{u}\bar{u}} &= \frac{1}{2\hat{s}} \cdot \frac{1}{4} \cdot \frac{1}{N^2} \sum_{\text{spin color}} \sum |M|^2 \frac{1}{8\pi} \cdot \frac{1}{2} \\
 &= \frac{T_F^2(N^2-1)}{N^2} \cdot \frac{4\pi ds^2}{\hat{s}} \cdot \frac{1}{(1-\cos\hat{\theta})^2} \left[1 + \left(\frac{1+\cos\hat{\theta}}{2} \right)^2 \right] \\
 &\quad + 1 \cdot \frac{\pi d\omega^2}{8} \frac{\hat{s}}{(\hat{s} - m_w^2)^2 + (m_w P_w)^2} \left(\frac{1+\cos\hat{\theta}}{2} \right)^2 \\
 &\quad - \frac{T_F(N^2-1)}{N^2} \cdot \frac{\pi d\omega d\omega}{4} \frac{\hat{s} - m_w^2}{(\hat{s} - m_w^2)^2 + (m_w P_w)^2} \frac{(1+\cos\hat{\theta})^2}{1-\cos\hat{\theta}}
 \end{aligned}$$

//

98 → 98 (p. 141~144 の続き)

(434) ~ (436) & (428), (431) は併記する

$$(501) \hat{M}_{I\lambda}^{\lambda_2\lambda_4} = g^2 \left\{ \left(\frac{1}{K_2 K_4} + \frac{1}{2 K_1 K_4} \right) \left[4E^2 \cos \frac{\theta}{2} \cdot \frac{1+\lambda_2\lambda_4 \cos \theta}{2} - \frac{E}{\sqrt{2}} \lambda_2 \sin \theta \cdot (-2\sqrt{2} E \sin \frac{\theta}{2} \delta_{\lambda\lambda_2}) \right] \right.$$

$$+ \left(\frac{\frac{E}{\sqrt{2}} (-\lambda_4 \sin \theta)}{K_1 \cdot K_4} - \frac{\frac{E}{\sqrt{2}} \lambda_4 \sin \theta}{K_2 \cdot K_4} \right) (-2\sqrt{2} E \sin \frac{\theta}{2} \delta_{\lambda\lambda_2}) \\ - i \left. \frac{-i E^2 \cos \frac{\theta}{2}}{2 K_1 \cdot K_4} \left[\lambda \lambda_2 (1+\cos \theta) + \lambda_2 \lambda_4 (1-\cos \theta) + 2 \lambda \lambda_4 \right] \right\}$$

$$= g^2 \left\{ \left(\frac{1}{K_2 K_4} + \frac{1}{2 K_1 K_4} \right) \left[\frac{1+\lambda_2\lambda_4 \cos \theta}{2} + \frac{1-\cos \theta}{2} \lambda_2 \lambda_4 \delta_{\lambda\lambda_4} \right] \sin \frac{\theta}{2} \right. \\ + \left(\frac{1}{K_2 \cdot K_4} + \frac{1}{K_1 \cdot K_4} \right) \left[\frac{1-\cos \theta}{2} \lambda_2 \lambda_4 \delta_{\lambda\lambda_2} \right] \sin \frac{\theta}{2} \\ \left. - \frac{1}{8 K_1 \cdot K_4} \left[\lambda \lambda_2 (1+\cos \theta) + \lambda_2 \lambda_4 (1-\cos \theta) + 2 \lambda \lambda_4 \right] \sin \frac{\theta}{2} \right\}$$

$$= g^2 \sin \frac{\theta}{2} \left\{ \frac{1}{K_2 \cdot K_4} \left[\frac{1+\lambda_2\lambda_4 \cos \theta}{2} + \frac{1-\cos \theta}{2} \lambda_2 \lambda_4 (\delta_{\lambda\lambda_2} + \delta_{\lambda\lambda_4}) \right] \right. \\ + \frac{1}{K_1 \cdot K_4} \left[\frac{1+\lambda_2\lambda_4 \cos \theta}{4} + \frac{1-\cos \theta}{4} \lambda_2 \lambda_4 (\delta_{\lambda\lambda_4} + 2 \delta_{\lambda\lambda_2}) \right. \\ \left. \left. - \frac{\lambda \lambda_2 (1+\cos \theta)}{8} - \frac{\lambda_2 \lambda_4 (1-\cos \theta)}{8} - \frac{\lambda \lambda_4}{4} \right] \right\}$$

$$(502) \hat{M}_{I\lambda}^{\lambda_2\lambda_2} = g^2 \sin \frac{\theta}{2} \left\{ \frac{1}{K_2 \cdot K_4} \left[\frac{1+\cos \theta}{2} + \frac{1-\cos \theta}{2} 2 \delta_{\lambda\lambda_2} \right] \right. \\ + \frac{1}{K_1 \cdot K_4} \left[\frac{1+\cos \theta}{4} + \frac{1-\cos \theta}{4} 3 \delta_{\lambda\lambda_2} - \frac{\lambda \lambda_2 (3+\cos \theta)}{8} - \frac{1-\cos \theta}{8} \right] \right\}$$

$$= g^2 \sin \frac{\theta}{2} \left\{ \frac{1}{K_2 \cdot K_4} \left[\delta_{\lambda,-\lambda_2} \frac{1+\cos \theta}{2} + \delta_{\lambda\lambda_2} \frac{3-\cos \theta}{2} \right] \right. \\ + \frac{1}{K_1 \cdot K_4} \left[\delta_{\lambda,-\lambda_2} \frac{1+\cos \theta}{2} + \delta_{\lambda\lambda_2} \frac{1-\cos \theta}{2} \right] \right\}$$

$$(503) \hat{M}_{I\lambda}^{\lambda_2\lambda_2} = 2g^2 \cos \frac{\theta}{2} \left\{ \delta_{\lambda,-\lambda_2} \left[\frac{1+\cos\theta}{1-\cos\theta} + 1 \right] + \delta_{\lambda,\lambda_2} \left[\frac{3-\cos\theta}{1-\cos\theta} + \frac{1-\cos\theta}{1+\cos\theta} \right] \right\}$$

$$= 2g^2 \cos \frac{\theta}{2} \left\{ \delta_{\lambda,-\lambda_2} \frac{2}{1-\cos\theta} + \delta_{\lambda,\lambda_2} \frac{4}{1-\cos^2\theta} \right\}$$

$$(504) \hat{M}_{I\lambda}^{\lambda_2,-\lambda_2} = g^2 s \cos \frac{\theta}{2} \left\{ \frac{1}{K_2 \cdot K_4} \left[\frac{1-\cos\theta}{2} - \frac{1-\cos\theta}{2} \right] \right.$$

$$\left. + \frac{1}{K_1 \cdot K_4} \left[\frac{1-\cos\theta}{4} - \frac{1-\cos\theta}{4} (\delta_{\lambda\lambda_4} + 2\delta_{\lambda\lambda_2}) - \frac{\lambda_2(1+\cos\theta)}{8} + \frac{1-\cos\theta + \lambda_2}{8} \right] \right\}$$

$$= 0$$

$$(505) \hat{M}_{I\lambda}^{\lambda_2\lambda_4} = g^2 \left\{ \left(\frac{1}{2K_3 \cdot K_4} - \frac{1}{K_2 \cdot K_4} \right) \left[S \cos \frac{\theta}{2} \cdot \frac{1+\lambda_2\lambda_4 \cos\theta}{2} - \frac{E}{\sqrt{2}} \lambda_2 \sin\theta (-2\sqrt{2}E) \sin \frac{\theta}{2} \lambda \delta_{\lambda\lambda_4} \right] \right.$$

$$+ \frac{1}{K_2 \cdot K_4} \frac{E}{\sqrt{2}} \lambda_4 \sin\theta (-2\sqrt{2}E) \sin \frac{\theta}{2} \lambda \delta_{\lambda\lambda_2}$$

$$\left. + i \frac{-i E^2 \cos \frac{\theta}{2}}{2K_3 \cdot K_4} [\lambda\lambda_2(1+\cos\theta) + \lambda_2\lambda_4(1-\cos\theta) + 2\lambda\lambda_4] \right\}$$

$$= g^2 s \cos \frac{\theta}{2} \left\{ \left(\frac{1}{2K_3 \cdot K_4} - \frac{1}{K_2 \cdot K_4} \right) \left[\frac{1+\lambda_2\lambda_4 \cos\theta}{2} + \frac{1-\cos\theta}{2} \lambda\lambda_2 \delta_{\lambda\lambda_4} \right] \right.$$

$$- \frac{1}{K_2 \cdot K_4} \frac{1-\cos\theta}{2} \lambda\lambda_4 \delta_{\lambda\lambda_2} + \frac{1}{8K_3 \cdot K_4} [\lambda\lambda_2(1+\cos\theta) + \lambda_2\lambda_4(1-\cos\theta) + 2\lambda\lambda_4]$$

$$= g^2 s \cos \frac{\theta}{2} \left\{ -\frac{1}{K_2 \cdot K_4} \left[\frac{1+\lambda_2\lambda_4 \cos\theta}{2} + \frac{1-\cos\theta}{2} (\lambda\lambda_2 \delta_{\lambda\lambda_4} + \lambda\lambda_4 \delta_{\lambda\lambda_2}) \right] \right.$$

$$\left. + \frac{1}{K_3 \cdot K_4} \left[\frac{1+\lambda_2\lambda_4 \cos\theta}{4} + \frac{1-\cos\theta}{4} \lambda\lambda_2 \delta_{\lambda\lambda_4} + \frac{\lambda_2(1+\cos\theta)}{8} + \frac{\lambda_2\lambda_4(1-\cos\theta)}{8} + \frac{\lambda\lambda_4}{4} \right] \right\}$$

$$(506) \hat{M}_{I\lambda}^{\lambda_2,-\lambda_2} = g^2 s \cos \frac{\theta}{2} \left\{ -\frac{1}{K_2 \cdot K_4} \left[\frac{1-\cos\theta}{2} + \frac{1-\cos\theta}{2} (-1) \right] \right.$$

$$+ \frac{1}{K_3 \cdot K_4} \left[\frac{1-\cos\theta}{4} + \delta_{\lambda\lambda_2} \left(\frac{1+\cos\theta}{8} - \frac{1-\cos\theta}{8} - \frac{1}{4} \right) \right.$$

$$\left. + \delta_{\lambda,-\lambda_2} \left(-\frac{1-\cos\theta}{4} - \frac{1+\cos\theta}{8} - \frac{1-\cos\theta}{8} + \frac{1}{4} \right) \right] \right\}$$

$$= 0$$

$$\begin{aligned}
 (507) \hat{M}_{\text{II} \lambda}^{\lambda_2 \lambda_2} &= g^2 \cos \frac{\theta}{2} \left\{ -\frac{1}{k_1 k_4} \left[\frac{1+\cos\theta}{2} + \frac{1-\cos\theta}{2} \right] 2 \delta_{\lambda_1 \lambda_2} \right. \\
 &\quad + \frac{1}{k_3 k_4} \left[\frac{1+\cos\theta}{4} + \frac{1-\cos\theta}{8} + \delta_{\lambda_1 \lambda_2} \left(\frac{1-\cos\theta}{4} + \frac{1+\cos\theta}{8} + \frac{1}{4} \right) \right. \\
 &\quad \left. \left. + \delta_{\lambda_1 - \lambda_2} \left(-\frac{1+\cos\theta}{8} - \frac{1}{4} \right) \right] \right\} \\
 &= g^2 \cos \frac{\theta}{2} \left\{ -\frac{1}{k_1 k_4} \left[\delta_{\lambda_1 \lambda_2} \frac{3-\cos\theta}{2} + \delta_{\lambda_1 - \lambda_2} \frac{1+\cos\theta}{2} \right] \right. \\
 &\quad \left. + \frac{1}{k_3 k_4} [\delta_{\lambda_1 \lambda_2} \cdot 1 + \delta_{\lambda_1 - \lambda_2} \cdot 0] \right\} \\
 &= 2g^2 \cos \frac{\theta}{2} \left\{ \delta_{\lambda_1 \lambda_2} \left[1 - \frac{3-\cos\theta}{(1+\cos\theta)} \right] + \delta_{\lambda_1 - \lambda_2} \left[-\frac{1+\cos\theta}{(1+\cos\theta)} \right] \right\} \\
 &= 2g^2 \cos \frac{\theta}{2} \left\{ \delta_{\lambda_1 \lambda_2} \left[-2 \frac{1-\cos\theta}{1+\cos\theta} \right] + \delta_{\lambda_1 - \lambda_2} [-1] \right\}
 \end{aligned}$$

(503) より (507) の結果で、まとめると

$$(508a) \hat{M}_{\text{I} \lambda}^{\lambda_2 \lambda_2} = 2g^2 \cos \frac{\theta}{2} \left\{ \delta_{\lambda_1 \lambda_2} \left[\frac{4}{1-\cos^2\theta} \right] + \delta_{\lambda_1 - \lambda_2} \left[\frac{2}{1-\cos\theta} \right] \right\}$$

$$(508b) \hat{M}_{\text{II} \lambda}^{\lambda_2 \lambda_2} = 2g^2 \cos \frac{\theta}{2} \left\{ \delta_{\lambda_1 \lambda_2} \left[-2 \frac{1-\cos\theta}{1+\cos\theta} \right] + \delta_{\lambda_1 - \lambda_2} [-1] \right\}$$

$$(508c) \hat{M}_{\text{I} \lambda}^{\lambda_2 - \lambda_2} = \hat{M}_{\text{II} \lambda}^{\lambda_2 - \lambda_2} = 0$$

(508c) すなはち、 $gg \rightarrow \bar{Z}Z$ の場合の選択則 ($\lambda_1 \neq \lambda_2$) [p. 129 (370)] は成立する。

選択則である。 $m_g = 0$ 極限では、入射ゲルオンと終状態ゲルオンのヘルツベーリー等しい ($\lambda_2 = \lambda_4$).

全断面積 12

$$(509) d\sigma = \frac{1}{2s} \cdot \frac{1}{4} \cdot \frac{1}{N(N^2-1)} \sum_{\text{spin}} \sum_{\text{color}} |M|^2 \frac{1}{8\pi} \frac{d\cos\theta}{2}$$

$$\begin{aligned} \frac{d\sigma}{d\cos\theta} &= \frac{1}{128\pi s} \frac{1}{N(N^2-1)} \sum_{\text{spin}} \left\{ \text{tr}(T^a T^a T^b T^b) (|\hat{M}_I|^2 + |\hat{M}_II|^2) \right. \\ &\quad \left. + \text{tr}(T^a T^b T^a T^b) 2 \text{Re}[\hat{M}_I \hat{M}_II^*] \right\} \\ &= \frac{1}{128\pi s} \frac{1}{N(N^2-1)} \left\{ T_F^2 \frac{(N^2-1)^2}{N} \sum_{\text{spin}} (|\hat{M}_{I,\lambda}^{\lambda_1 \lambda_2}|^2 + |\hat{M}_{II,\lambda}^{\lambda_1 \lambda_2}|^2) \right. \\ &\quad \left. - T_F^2 \frac{N^2-1}{N} \sum_{\text{spin}} 2 \text{Re}[(\hat{M}_{I,\lambda}^{\lambda_1 \lambda_2})(\hat{M}_{II,\lambda}^{\lambda_1 \lambda_2})^*] \right\} \end{aligned}$$

干涉項のカーラー因子が負なので、干涉項全体の符号は正となる。

$$\begin{aligned} (510) \frac{d\sigma}{d\cos\theta} &= \frac{4\pi ds^2}{s} (1+\cos\theta) \left\{ \frac{T_F^2(N^2-1)}{N^2} \left[\frac{2}{(1-\cos^2\theta)^2} + \frac{2}{4(1-\cos\theta)^2} + \frac{2(1-\cos\theta)^2}{4(1+\cos\theta)^2} + \frac{2}{16} \right] \right. \\ &\quad \left. - \frac{T_F^2}{N^2} 2 \left[-\frac{(1-\cos\theta) \times 2}{2(1+\cos\theta)(1-\cos^2\theta)} - \frac{2}{2(1-\cos\theta) \cdot 4} \right] \right\} \\ &= \frac{4\pi ds^2}{s} \left\{ \frac{T_F^2(N^2-1)}{N^2} \left[\frac{1}{(1-\cos\theta)^2} \left(\frac{2}{1+\cos\theta} + \frac{1+\cos\theta}{2} \right) + \frac{(1-\cos\theta)^2}{2(1+\cos\theta)} + \frac{1+\cos\theta}{8} \right] \right. \\ &\quad \left. + \frac{T_F^2}{N^2} \left[2 + \frac{1+\cos\theta}{1-\cos\theta} \right] \right\} \end{aligned}$$

∴ " $\cos\theta \rightarrow 1$ の振る舞" & $\cos\theta = 0$ の値をみておくと 1, 3.

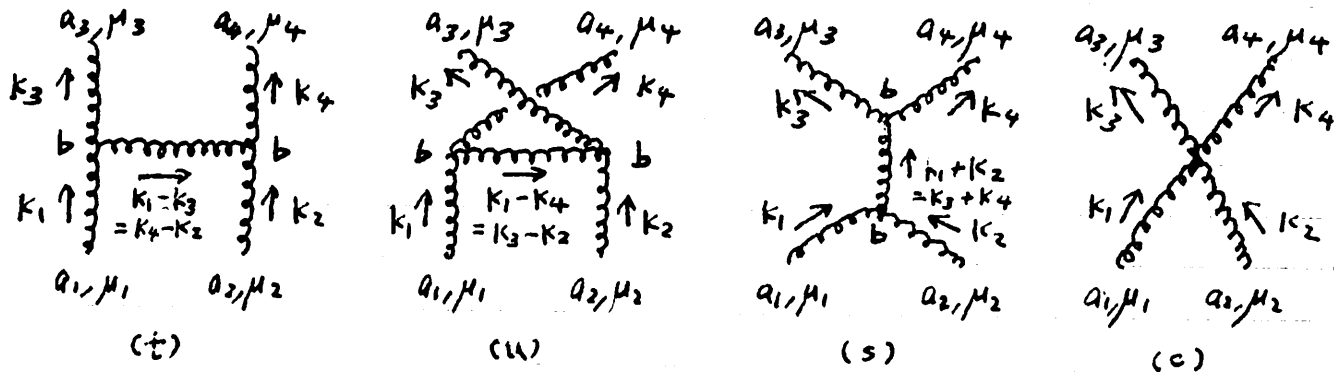
$$\begin{aligned} (511) \frac{d\hat{f}^{gg \rightarrow gg}}{d\cos\theta} &\xrightarrow{\cos\theta \rightarrow 1} \frac{4\pi ds^2}{s} \left\{ \frac{2}{9} \left[\frac{2}{(1-\cos\theta)^2} + \frac{1}{4} \right] + \frac{1}{36} \left[\frac{2}{1-\cos\theta} + 2 \right] \right\} \\ &\xrightarrow{\cos\theta \rightarrow 0} \frac{4\pi ds^2}{s} \left\{ \frac{2}{9} \left[\frac{25}{8} \right] + \frac{1}{36} [3] \right\} \end{aligned}$$

二ヶ発散の t-channel パルス交換は \hat{M}_I に t-charge 存在し、その $\cos\theta \rightarrow 1$ 時 P_F は、カーラー因子も含めて $gg' \rightarrow gg'$ に等しい。 //

$gg \rightarrow gg$

F₂ と一番重要な素過程 $gg \rightarrow gg$ にたどりつきました。

$$(512) g^{a_1}(k_1, \lambda_1) + g^{a_2}(k_2, \lambda_2) \rightarrow g^{a_3}(k_3, \lambda_3) + g^{a_4}(k_4, \lambda_4)$$



4つのアーティムをもつて4L(左か3), t-, u-, s-channel と c=contact と並べます。

まずは Feynman 図 1 (291) と (294) を使って書きます。

$$(513) M = g^2 \left\{ f^{a_1 a_3 b} f^{a_4 a_2 b} P_t^{\mu_1 \mu_2 \mu_3 \mu_4} + f^{a_1 a_4 b} f^{a_2 a_3 b} P_u^{\mu_1 \mu_2 \mu_3 \mu_4} + f^{a_1 a_2 b} f^{a_3 a_4 b} P_s^{\mu_1 \mu_2 \mu_3 \mu_4} \right\} \\ \times \epsilon_{\mu_1}(k_1, \lambda_1) \epsilon_{\mu_2}(k_2, \lambda_2) \epsilon_{\mu_3}^*(k_3, \lambda_3) \epsilon_{\mu_4}^*(k_4, \lambda_4)$$

ここで c-図の寄与は Feynman 図 1 (294) です。s-, t-, u-図の寄与は根号で分けてあります。

$$(514) P_t^{\mu_1 \mu_2 \mu_3 \mu_4} = [(k_1 + k_3)^\alpha g^{\mu_1 \mu_3} + (-k_3 + k_1 - k_2)^\alpha g^{\mu_1 \mu_3} + (k_3 - k_1 - k_2)^\alpha g^{\mu_1 \mu_3}] \\ \times [(-k_4 - k_2)^\beta g^{\mu_4 \mu_2} + (k_2 - k_4 + k_1)^\beta g^{\mu_4 \mu_2} + (k_4 - k_2 + k_1)^\beta g^{\mu_4 \mu_2}] \frac{-g^{\alpha \beta}}{(k_1 - k_3)^2} \\ + (g_{\mu_1 \mu_2} g_{\mu_3 \mu_4} - g_{\mu_1 \mu_4} g_{\mu_2 \mu_3}) \\ = \frac{1}{2k_1 k_3} [(2k_1 k_3 - 2s) g^{\mu_1 \mu_3} g^{\mu_4 \mu_2} + 2(k_1 + k_3)^\beta g^{\mu_1 (k_2 + k_4) \mu_3} g^{\mu_2 \mu_4} \\ + 2(k_1 + k_3)^\beta g^{\mu_2 (k_2 + k_4) \mu_4} g^{\mu_1 \mu_3} - 4k_1^\mu_3 k_2^\mu_4 g^{\mu_1 \mu_2} \\ - 4k_2^\mu_4 k_3^\mu_1 g^{\mu_3 \mu_2} - 4k_3^\mu_1 k_4^\mu_2 g^{\mu_3 \mu_4} - 4k_4^\mu_2 k_1^\mu_3 g^{\mu_4 \mu_1}] + (1')$$

少し系統的に計算しながらいけません。まず (514) ②

$$(515a) \Gamma_t^{\mu_1\mu_2\mu_3\mu_4} = \Gamma^{\mu_1\mu_2\mu_3\mu_4} (k_1, k_2, k_3, k_4)$$

とおきます。[$k_1 = k_1 k_2$ と表記しておきます。] ですと

$$(515b) \Gamma_u^{\mu_1\mu_2\mu_3\mu_4} = \Gamma^{\mu_1\mu_3\mu_4\mu_2} (k_1, -k_3, k_4, -k_2)$$

$$(515c) \Gamma_s^{\mu_1\mu_2\mu_3\mu_4} = \Gamma^{\mu_1\mu_4\mu_2\mu_3} (k_1, -k_4, -k_2, k_3)$$

こんなに面倒だと困る。せんべい。全て内向きの運動量 p_i^μ を使います。

$$(516) p_1^\mu = k_1^\mu, p_2^\mu = k_2^\mu, p_3^\mu = -k_3^\mu, p_4^\mu = -k_4^\mu$$

です

$$(517a) \Gamma_t^{\mu_1\mu_2\mu_3\mu_4} = \Gamma^{\mu_1\mu_2\mu_3\mu_4} (p_1, p_2, -p_3, -p_4) \equiv \Gamma(1234)$$

$$(517b) \Gamma_u^{\mu_1\mu_2\mu_3\mu_4} = \Gamma^{\mu_1\mu_3\mu_4\mu_2} (p_1, p_3, -p_4, -p_2) \equiv \Gamma(1342)$$

$$(517c) \Gamma_s^{\mu_1\mu_2\mu_3\mu_4} = \Gamma^{\mu_1\mu_4\mu_2\mu_3} (p_1, p_4, -p_2, -p_3) \equiv \Gamma(1423)$$

となります。そのため、 $\Gamma_t^{\mu_1\mu_2\mu_3\mu_4} = \Gamma(1234)$ (514) で p_i^μ を置いて計算します。

$$(518) \Gamma(1234) = -\frac{1}{p_1 p_3} \left[(-p_1 p_3 - 2p_1 p_2) g^{\mu_1\mu_3} g^{\mu_2\mu_4} + (p_1 - p_3)^3 (p_2 - p_4)^3 g^{\mu_1\mu_4} \right. \\ \left. + (p_1 - p_3)^3 (p_2 - p_4)^3 g^{\mu_1\mu_3} - 2 p_1^{\mu_2} p_2^{\mu_4} g^{\mu_1\mu_2} \right. \\ \left. + 2 p_2^{\mu_4} p_3^{\mu_1} g^{\mu_2\mu_3} - 2 p_3^{\mu_1} p_4^{\mu_2} g^{\mu_3\mu_4} + 2 p_4^{\mu_2} p_1^{\mu_3} g^{\mu_1\mu_4} \right] \\ + g^{\mu_1\mu_2} g^{\mu_3\mu_4} - g^{\mu_1\mu_4} g^{\mu_2\mu_3}$$

これが4つの順番を1つあります。カラーフォクスのベースを large N 独立に変換します。

ます。次の等式を確認してください。

$$(519) f^{abc} = \frac{-i}{T_F} \operatorname{tr} \left\{ [T^a, T^b] T^c \right\} = \frac{-i}{T_F} \left\{ \operatorname{tr}(T^a T^b T^c) - \operatorname{tr}(T^c T^b T^a) \right\}$$

Hierz と 1 を使、2 次式を導きます。

$$\begin{aligned} (520) f^{a_1 a_2 b} f^{a_3 a_4 b} &= \frac{-i}{T_F} \left[\operatorname{tr}(T^{a_1} T^{a_2} T^b) - \operatorname{tr}(T^b T^{a_2} T^{a_1}) \right] \frac{-i}{T_F} \left[\operatorname{tr}(T^{a_3} T^{a_4} T^b) - \operatorname{tr}(T^b T^{a_4} T^{a_3}) \right] \\ &= \frac{-1}{T_F^2} \left[\operatorname{tr}(T^{a_1} T^{a_2} T^b) \operatorname{tr}(T^{a_3} T^{a_4} T^b) + \operatorname{tr}(T^b T^{a_2} T^{a_1}) \operatorname{tr}(T^b T^{a_4} T^{a_3}) \right. \\ &\quad \left. - \operatorname{tr}(T^{a_1} T^{a_2} T^b) \operatorname{tr}(T^b T^{a_4} T^{a_3}) - \operatorname{tr}(T^b T^{a_2} T^{a_1}) \operatorname{tr}(T^{a_3} T^{a_4} T^b) \right] \end{aligned}$$

$$\begin{aligned} (521) \operatorname{tr}(T^{a_1} T^{a_2} T^b) \operatorname{tr}(T^{a_3} T^{a_4} T^b) &= T_{i_1 i_2}^{a_1} T_{i_2 i_3}^{a_2} T_{i_3 i_1}^b T_{j_1 j_2}^{a_3} T_{j_2 j_3}^{a_4} T_{j_3 j_1}^b \\ &= T_{i_1 i_2}^{a_1} T_{i_2 i_3}^{a_2} T_{i_3 i_1}^{a_3} T_{j_1 j_2}^{a_4} \left(T_F [\delta_{i_3 j_1}, \delta_{j_3 i_1}, -\frac{1}{N} \delta_{i_3 i_1}, \delta_{j_3 j_1}] \right) \\ &= T_F \left(\operatorname{tr}(T^{a_1} T^{a_2} T^{a_3} T^{a_4}) - \frac{1}{N} \operatorname{tr}(T^{a_1} T^{a_2}) \operatorname{tr}(T^{a_3} T^{a_4}) \right) \\ &= T_F \operatorname{tr}(T^{a_1} T^{a_2} T^{a_3} T^{a_4}) - \frac{T_F^2}{N} \delta^{a_1 a_2} \delta^{a_3 a_4} \end{aligned}$$

$$\begin{aligned} (522) f^{a_1 a_2 b} f^{a_3 a_4 b} &= \frac{-1}{T_F} \left\{ \operatorname{tr}(T^{a_1} T^{a_2} T^{a_3} T^{a_4}) + \operatorname{tr}(T^{a_2} T^{a_1} T^{a_3} T^{a_4}) \right. \\ &\quad \left. - \operatorname{tr}(T^{a_1} T^{a_2} T^{a_4} T^{a_3}) - \operatorname{tr}(T^{a_2} T^{a_1} T^{a_4} T^{a_3}) \right\} \\ &\quad + \frac{1}{N} \left[\delta^{a_1 a_2} \delta^{a_3 a_4} + \delta^{a_2 a_1} \delta^{a_4 a_3} - \delta^{a_1 a_2} \delta^{a_3 a_4} - \delta^{a_1 a_2} \delta^{a_3 a_4} \right] \rightarrow 0 \end{aligned}$$

ここで カラー因子のルール

$$(523) T(i j k l) \equiv \frac{1}{T_F} \operatorname{tr}(T^{a_i} T^{a_j} T^{a_k} T^{a_l})$$

を定義すると、ルールの cyclic 对称性を留意して

$$(524a) f^{a_1 a_2 b} f^{a_3 a_4 b} = -T(1234) - T(1432) + T(1243) + T(1342)$$

$$(524b) f^{a_1 a_4 b} f^{a_2 a_3 b} = -T(1423) - T(1324) + T(1432) + T(1234)$$

$$(524c) f^{a_1 a_3 b} f^{a_4 a_2 b} = -T(1342) - T(1243) + T(1324) + T(1423)$$

(524a, b, c) と (517a, b, c) を (513) に代入すれば、振幅は

$$\begin{aligned} (525) \quad M &= g^2 \left\{ [-T(1342) - T(1243) + T(1324) + T(1423)] M(1234) \right. \\ &\quad + [-T(1423) - T(1324) + T(1432) + T(1234)] M(1342) \\ &\quad \left. + [-T(11234) - T(1432) + T(1243) + T(1342)] M(1423) \right\} \end{aligned}$$

∴ て M(1234) 等は

$$(526) \quad M(1234) = F(1234) \varepsilon_{\mu_1}(k_1, \lambda_1) \varepsilon_{\mu_2}(k_2, \lambda_2) \varepsilon_{\mu_3}^*(k_3, \lambda_3) \varepsilon_{\mu_4}^*(k_4, \lambda_4)$$

等で定義され、かつ振幅である。新(カラ-因子)として整理すると

$$\begin{aligned} (527a) \quad M &= g^2 \left\{ T(1234) [M(1342) - M(1423)] \right. \\ &\quad + T(1243) [M(1423) - M(1234)] \\ &\quad + T(1324) [M(1234) - M(1342)] \\ &\quad + T(1342) [M(1423) - M(1234)] \\ &\quad + T(1423) [M(1234) - M(1342)] \\ &\quad \left. + T(1432) [M(1342) - M(1423)] \right\} \end{aligned}$$

$$\begin{aligned} (527b) \quad &= g^2 \left\{ [T(1234) + T(1432)] [M(1342) - M(1423)] \right. \\ &\quad + [T(1243) + T(1342)] [M(1423) - M(1234)] \\ &\quad \left. + [T(1324) + T(1423)] [M(1234) - M(1342)] \right\} \end{aligned}$$

∴ て $3! = 6$ の カラ-因子 $T(ijk\ell)$ が large N 独立で、従っての係数振幅は

それはケーブルでない。 trace 近似では独立な末端の 3 つ (かた) ので (5276) の

様子は因子化されます。またこのカラーバーストの large N 独立性を証明します。

$$\begin{aligned}
 (528) \sum_{\text{color}} T(1234)T(1234)^* &= \sum_{a_1 a_2 a_3 a_4} \overline{\text{tr}(T^{a_1} T^{a_2} T^{a_3} T^{a_4})} \text{tr}(T^{a_4} T^{a_3} T^{a_2} T^{a_1}) \frac{1}{T_R} \\
 &= \sum_{a_1 a_2 a_3} T_R^{-1} \left\{ \overline{\text{tr}(T^{a_1} T^{a_2} T^{a_3} T^{a_4})} - \frac{1}{N} \overline{\text{tr}(T^{a_1} T^{a_3} T^{a_2})} \overline{\text{tr}(T^{a_3} T^{a_2} T^{a_1})} \right\} \frac{1}{T_R^2} \\
 &= \sum_{a_1 a_2} T_R^{-1} \left\{ C_R \overline{\text{tr}(T^{a_1} T^{a_2} T^{a_3} T^{a_4})} - \frac{T_R}{N} [\overline{\text{tr}(T^{a_1} T^{a_2} T^{a_3} T^{a_4})} - \frac{1}{N} \overline{\text{tr}(T^{a_1} T^{a_3})} \overline{\text{tr}(T^{a_2} T^{a_4})}] \right\} \\
 &= \sum_{a_1} T_R^{-1} \left\{ C_R^2 \overline{\text{tr}(T^{a_1} T^{a_1})} - \frac{T_R}{N} [C_R \overline{\text{tr}(T^{a_1} T^{a_1})} - \frac{T_R^2}{N} \delta^{a_1 a_1}] \right\} \\
 &= T_R^{-1} \left\{ C_R^2 T_R (N^2 - 1) - \frac{T_R}{N} [C_R T_R (N^2 - 1) - \frac{T_R^2}{N} (N^2 - 1)] \right\} \\
 &= (N^2 - 1) \left\{ C_R^2 - C_R \frac{T_R}{N} + \frac{T_R^2}{N^2} \right\}.
 \end{aligned}$$

∴ 2

$$(529) \sum_a (T^a T^a)_{ij} = C_R \delta_{ij} ; \quad C_R = T_R \frac{N^2 - 1}{N} = \frac{4}{3}$$

を使います。 $C_R \sim O(N)$ ので、 (528) のカラーフラクタは N^4 です。非対角要素：

$$\begin{aligned}
 (530) \sum_{\text{color}} T(1234)T(1243)^* &= \frac{1}{T_R^2} \sum_{a_1 a_2 a_3 a_4} \overline{\text{tr}(T^{a_1} T^{a_2} T^{a_3} T^{a_4})} \text{tr}(T^{a_3} T^{a_4} T^{a_2} T^{a_1}) \\
 &= \frac{1}{T_R^2} \sum_{a_1 a_2 a_3 a_4} \overline{\text{tr}(T^{a_1} T^{a_2} T^{a_3} T^{a_4} T^{a_1} T^{a_3})} \overline{\text{tr}(T^{a_4} T^{a_2} T^{a_1} T^{a_3})} \\
 &= \frac{1}{T_R} \sum_{a_1 a_2 a_3} \left\{ \overline{\text{tr}(T^{a_1} T^{a_2} T^{a_3} T^{a_4} T^{a_1} T^{a_3})} - \frac{1}{N} \overline{\text{tr}(T^{a_1} T^{a_2} T^{a_3} T^{a_4})} \overline{\text{tr}(T^{a_1} T^{a_3} T^{a_2} T^{a_4})} \right\} \\
 &= \frac{1}{T_R} \sum_{a_1 a_2} \left\{ -\frac{T_R}{N} \overline{\text{tr}(T^{a_2} T^{a_3} T^{a_4} T^{a_2} T^{a_3})} - \frac{T_R}{N} [\overline{\text{tr}(T^{a_2} T^{a_3} T^{a_4} T^{a_2} T^{a_3})} - \frac{1}{N} \overline{\text{tr}(T^{a_2} T^{a_3})}^2] \right\} \\
 &= \sum_{a_2} \left\{ -\frac{1}{N} \cdot (-\frac{T_R}{N}) \overline{\text{tr}(T^{a_2} T^{a_2})} - \frac{1}{N} [C_R \overline{\text{tr}(T^{a_2} T^{a_2})} - \frac{T_R^2}{N} \delta^{a_2 a_2}] \right\} \\
 &= (N^2 - 1) \left\{ \frac{T_R^2}{N^2} - \frac{T_R}{N} C_R + \frac{T_R^2}{N^2} \right\} = (N^2 - 1) \left\{ -C_R \frac{T_R}{N} + 2 \frac{T_R^2}{N^2} \right\}
 \end{aligned}$$

2005. 6. 17

対角要素に転化 N^{-2} ですね。またあと4ヶ非対角要素が残っているナビ。
コンピュータでは1.0ですね。次のステップ (527b) の幅幅、M(1342)-M(1423)
等がケーブル不変であることをまず check し、それから ハーフティー幅幅を計算
します。申し分けござりますせんが、分厚手で書いています。時間切れ
になりました。補講が出来てます。 補講が出来てます。 //